

**inyps**

**INFORMES Y PROYECTOS, S.A.**

HOJA N° 332 (VICH)

ALBUM FOTOGRÁFICO



FOTO N° 100.- Terraza del río Ter.



FOTO N° 101.- Cuaternario de los cerros testigo, que forman un glacis antiguo.



FOTO N° 102.- Falla de Viladrau.



FOTO Nº 103. - Panorámica del sector de Vilanova de Sau-Tavertet, donde se observan :

- 1º .- Formaciones basales del eoceno.
- 2º .- Superficie de erosión pre-eoceno.
- 3º .- Al fondo la falla de St. Joan de Fabregas.



FOTO N° 58.- Detalle del granito biotítico

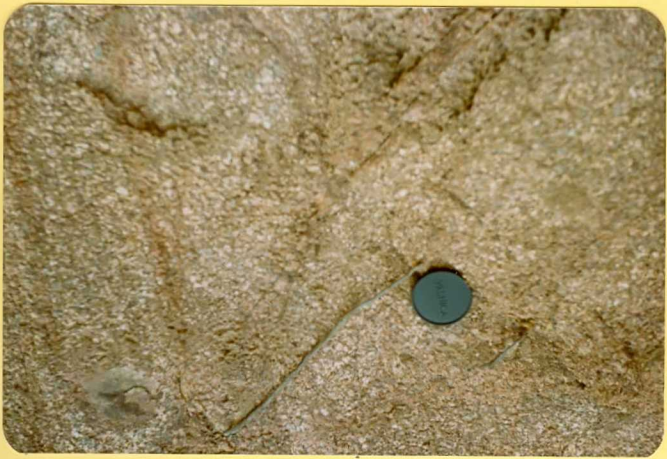


FOTO N° 59.- Granito biotítico.



FOTO N° 60.- Diques complejos de la Riera Mayor (diques de porfido granítico, felsofido y diorita)



FOTO N° 61. - Contacto entre porfido granítico y felsófido.



FOTO N° 62.- Dique de composición dioritica.



FOTO N° 63 .- Contacto entre dique de felsita y granito bio-titico alterado.



FOTO N° 64. - Esquistos cambro-ordovicicos. Pliegue de dimensiones métricas que pliega a la S<sub>1</sub>. Sobre la S<sub>1</sub> se desarrollan pliegues tipo "mullion" que a su vez pliegan a otros "mullion" ligeramente oblícuos con relación a estos últimos.



FOTO N° 65. - Detalle de la  $S_1$ , con las dos fases de pliegues tipo "mullion".



FOTO N° 66.- "Kink bands" asimétricas en las pizarras  
cambro-ordovicicas.



FOTO N° 67. - Detalle de la relación S<sub>0</sub> y S<sub>1</sub>.

FOTO N° 68. - Relación de oblicuidad entre  $S_0$  y  $S_1$  (relación de flanco inverso)

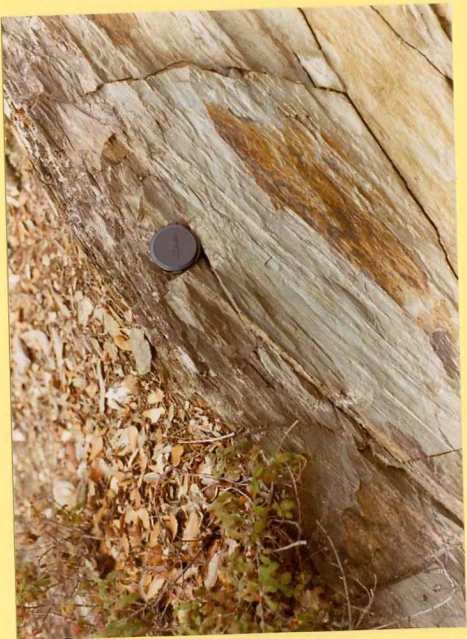




FOTO N° 69.- Panorámica de la zona de Tavertet, donde se observa las formaciones basales del Eoceno.



FOTO N° 70. - Detalle de la formación Mediona, arcillas rojas con suelos y canales conglomeraticos intercalados.



FOTO N° 71.- Formación Mediona, al fondo la formación Romagats.



FOTO N° 72. - Contacto entre la formación Tavertet con el Eoceno rojo infrayacente.



FOTO N° 73. - Tránsito entre el Eoceno rojo de base y el Eoceno marino. Se observa una intercalación marina de calizas arenosas con "alveolinas".



FOTO N° 74.- Detalle de la intercalación.

FOTO Nº 75. - Detalle de la intercalación, se observa el gran tamaño de los clastos y estratificación cruzada.





FOTO N° 76.- Panorámica de los niveles basales al este de Tabernolas. Margas de Coll de Malla, superficie en cuesta del nivel R.M. (base de la formación Folgueroles), margas y a techo los cuerpos de dunas de la citada formación.



FOTO N° 77.- Formación Coll de Malla, detalle de una superficie con pistas de Callinassa.



FOTO Nº 78. - Formación Coll de Malla, detalle de los cañales arenosos de la parte superior.



FOTO N° 79. - Al Sur del Aguilar, el contacto entre el Eocene rojo y el marino se realiza mediante unos niveles arenosos con estructura bolar.



FOTO N° 80. - Detalle del nivel R.M.



FOTO N° 81. - Detalle del nivel R.M.



FOTO N° 82. - Detalle del nivel R.M.



FOTO Nº 83.- Zona superior del nivel R.M., estratificación cruzada, tabular de gran escala y pequeño ángulo.



FOTO N° 84.- Formación Folgueroles.

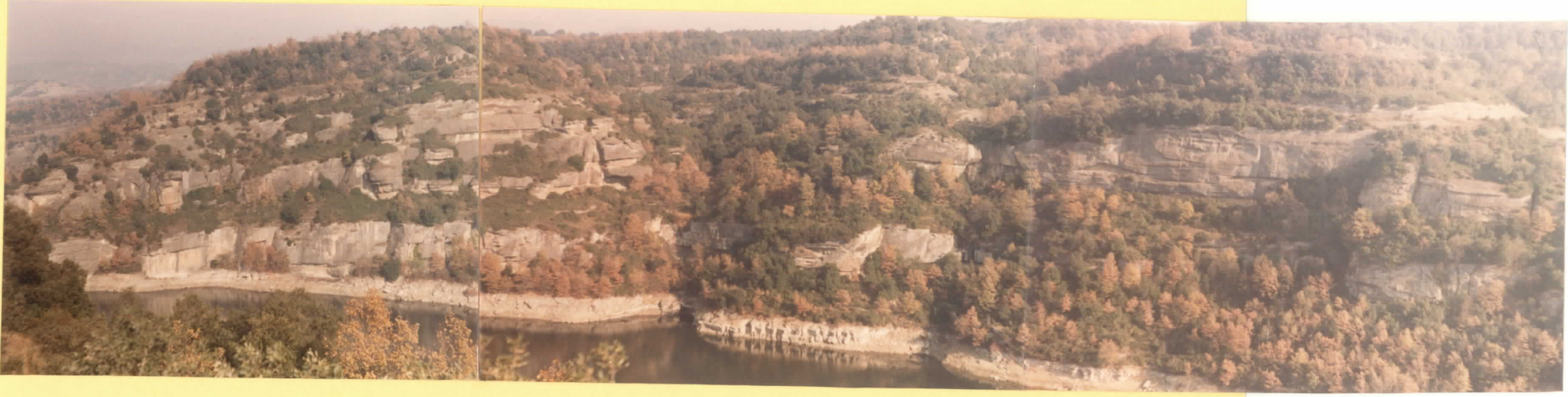


FOTO N° 85. - Panorámica de la formación Folgueroles en la zona norte de la Hoja.



FOTO N° 86.- Niveles de bioturbación dentro de esta formación.

FOTO N° 87. - Ripples asimétricos en esta formación





FOTO N° 88 .- Detalle de los ripples.



FOTO N° 89.- Ripples con estructuras tipo "linsen".



FOTO N° 90. - Panorámica de los niveles superiores del Eoceno desde el Castillo de Tona.



FOTO N° 91.- Niveles superiores del Eoceno marino en el sector norte.



FOTO N° 92.- Panorámica de la progradación deltaica con superposición de lobulos deltaicos.



FOTO N° 93.- Barras de frente de desembocadura en la parte superior de los ciclos deltaicos.



FOTO N° 94.- Progradación de un lobulo en las partes dis-tales del mismo.



FOTO N° 95.- Arrecife de St. Bartolomeu (nivel C.A.).



FOTO N° 96. - Detalle de la caliza de "miliólidos" que se acuña en el interior del arrecife.



FOTO N° 97. - Desarrollo de laminaciones algales con moldes de evaporitas.



FOTO N° 98.- Niveles de evaporitas en las proximidades de Pont del Llop.



FOTO N° 99. - Detalle de los mismos.